

- [4] Дайшин Н.К., Крамарчук Г.Г., Сдвижков М.А. // Письма в ЖЭТФ. 1968. Т. 44. В. 2. С. 85-86.
- [5] Барилло С.Н., Гесь А.П., Лугинец А.М., Сошников Л.Е. // ФТТ. 1987. Т. 29. № 5. С. 1541-1543.
- [6] Балбашов А.М., Козлов Г.В., Лебедев С.М. Мухин А.А., Пронин А.Ю., Прохоров А.С. Препринт ИОФ АН СССР, № 97. М.: 1988. С. 71.
- [7] Городецкий Г., Lithi B. // Phys. Rev. B. 1970. V. 2. N 9. P. 3688-3698.

Донецкий физико-технический
институт АН УССР

Письма в ЖТФ, том 16, вып. 5

12 марта 1990 г.

07

© 1990

К ЭФФЕКТУ НЕЛИНЕЙНОЙ ГЕНЕРАЦИИ ВЧ
ОПТИЧЕСКОГО ШУМА В РЕЗОНАТОРЕ ФАБРИ-ПЕРО

А.Н. М о р о з о в, В.О. Г л а д ы ш е в

Развитые в последнее время методы повышения чувствительности когерентных оптических измерений малых перемещений за счет многократных переотражений в оптических линиях задержки или резонаторах Фабри-Перо (РФП) дали большой толчок прогрессу в данной области экспериментальной техники. Однако практическая реализация выявила определенные недостатки и границы применимости этих устройств в прецизионных измерениях [1]. К числу отрицательных явлений, существенно снижающих чувствительность целого ряда методов отражательной многолучевой интерферометрии, относится нелинейный характер взаимодействия давления лазерного излучения с массами, на которых установлены зеркала [2].

В данной работе предлагается новое объяснение аномально высокому уровню оптического шума в системе лазер-РФП в области ВЧ. Полученные результаты играют особенно важную роль при проектировании новых прецизионных интерферометров для геофизических исследований, лазерных интерференционных гравитационных антенн (ЛИГА) и тому подобных, в которых АЧХ представляет собой одну из основных информативных величин. Необходимость данного рассмотрения вызвана также тем, что наличие аномально высокого уровня оптического шума в области ВЧ требует незамедлительного учета обсуждаемого эффекта при оптимизации параметров прецизион-

ных РФП в создаваемых сейчас измерительных средствах прикладной и фундаментальной физики.

Рассмотрим непроходной РФП, глухое зеркало которого установлено на теле массой M , а потери за один цикл переотражений равны $\Delta \ll 1$. Если резонатор отьюстирован так, что $\Delta \ll \chi \ll 1$, где χ - фазовый сдвиг, характеризующий настройку резонатора, то уравнение движения массы M в поле светового давления запишется в виде

$$\ddot{x} + 2\beta \dot{x} + \omega_0^2 x - \frac{b}{(x+r)^2} = \xi(t), \quad (1)$$

где β - коэффициент затухания, ω_0 - собственная частота колебаний массы M , $r = \chi/2k$, $\xi(t)$ - внешнее возмущение, а нелинейный член содержит параметр $b = \Omega J_0 / 2Mck^2$, включающий J_0 - мощность одномодового лазера.

Для определения характера трансформации колебаний массивного зеркала с НЧ в ВЧ флуктуации рассмотрим наиболее реальную ситуацию импульсного возмущения, при котором телу сообщается энергия W , диссирирующая за $\tau \sim 1/\beta$, и, считая на интервале $(0, \tau)$ колебания тела свободными и незатухающими, представим их в виде

$$x(t) = A_0 + \sum_{i=1}^{\infty} A_i \cos i\omega t \quad (2)$$

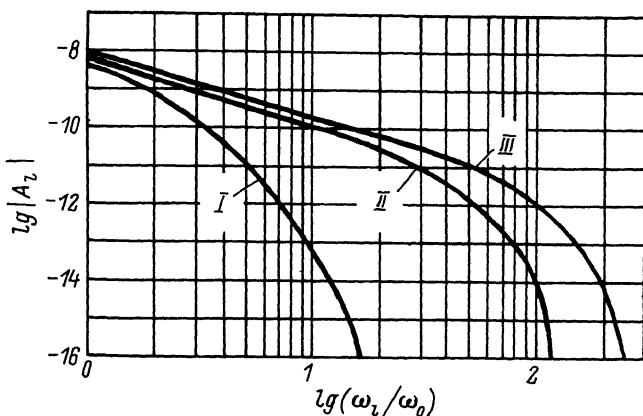
где ω - частота первой моды колебаний тела с учетом нелинейности уравнения (1). Подстановка решения (2) в уравнение (1) позволяет на временных промежутках $\tau < 1/\beta$ определить рекуррентную формулу для оценки амплитуды гармоники A_l , имеющей частоту $\omega_l = l\omega$, при $l \geq 2$:

$$A_l = -\frac{1}{2} \sum_{i,k=1}^{i+k=l} \beta_{k,l} A_i A_k - \frac{1}{4} \sum_{i,j=1}^{i,j < l} A_i A_j (\gamma_{i+j-l,l} A_{i+j-l} + \\ + 2\gamma_{j,l} A_{i+j-l}) - \frac{1}{4} \sum_{i,j,k=1}^{i+j+k=l} A_i A_j A_k \gamma_{k,l}, \quad (3)$$

где $\beta_{k,l} = 2k^2/(A_0 + r)l^2$, $\gamma_{k,l} = k^2/(A_0 + r)^2 l^2$, а обозначение $\sum_{i,k=1}^{i+k=l}$ означает суммирование всех членов с $i \geq 1, k \geq 1$

при условии, что $i+k=l$. Формула (3) получена при условии $A_l < A_0 + r$, $A_{i+1} < A_i$, $i = 1, n$, что является наиболее реальным при физическом описании системы, и для ее использования необходимо задаться величинами A_0 и A_1 , определенными значениями параметров системы лазер-РФП и W .

Численные расчеты по формуле (3) для характерных параметров системы лазер-РФП, соответствующих значениям $b = 10^{-24} \dots 10^{-22} \frac{\text{Дж} \cdot \text{м}}{\text{к}^2}$ в высокоточном эксперименте, дают зависимость



$A_z(\omega_z)$. На рисунке приведены графики $\lg|A_z(\omega_z)|$ при следующих значениях A_z : I - $A_z = 0.5(A_0 + r)$; II - $A_z = 0.9(A_0 + r)$; III - $A_z = 0.95(A_0 + r)$. Как следует из приведенных графиков, амплитуда сотой гармоники A_{100} для случая II находится на уровне 10^{-14} м, а для случая III достигает 10^{-12} м. Для сравнения, чувствительность гравитационно-волновых экспериментов на ЛИГА должна находиться на уровне $4\Delta x = 10^{-15}$ м [3]. В приведенных оценках значения W находились в интервале 10^{-14} - 10^{-12} Дж, что при фазовой расстройке $\Delta\omega = 0.1$ ($r = 5 \times 10^{-9}$ м) соответствовало $A_0 = 5 \cdot 10^{-9}$ м и $A_z \approx (5 \dots 10) \cdot 10^{-9}$ м.

Таким образом, рассмотренный механизм трансформации НЧ колебаний зеркал РФП в ВЧ флуктуаций снимаемого с резонатора оптического сигнала может существенно ограничить чувствительность оптических измерительных средств, в частности, чувствительность систем, реализующих схему интерферометра Майкельсона, плечи которого представляют собой РФП, а зеркала установлены на свободных массах. Данные результаты дают более естественное объяснение наблюдаемому избыточному фотонному шуму при $f < 2$ кГц [4] и объясняют ту часть оптических экспериментов, в которых измеренный фон превосходил значения, предсказанные статистикой [5], и вызывался указанным эффектом.

В заключение следует отметить, что формула (3) и приведенные графики отражают новый эффект, проявление которого зависит от конкретных значений параметров установки M, k, J_0 . При этом достигнутые значения уровня активного подавления сейсмических шумов для строящихся большебазовых лазерных интерферометров, приводимые в ряде перспективных работ [6, 7], нуждаются в дополнительных оценках.

Список литературы

- [1] Schilling R. // Lect. Notes Phys. 1984. N 112. P. 213-221.

- [2] D e r u e l l e N., T o u r r e n c P. //
Lect. Motes Phys. 1984. N 112. P. 232-237.
- [3] B r i l l e t A. // Ann. Phys. (Fr), 1985. V. 10.
N 3. P. 219-226.
- [4] M a i s c h b e r g e r K. Proc. 2 Marcel
Grossman Meet. Gen. Relativity, Trieste 5-11
July, 1979. Part A. Amsterdam. 1982. P. 1083-1100.
- [5] W e b e r J. Proc. 2 Marcel Grossman Meet.
Gen. Relativity, Trieste 5-11 July, 1979. Part A.
Amsterdam, 1982. P. 1073-1081.
- [6] S a u l s o n Peter R. // Rev. Sci. Instrum.
1984. V. 55. N 8. P. 1315-1320.
- [7] D e l F a b b r o R. // Phys. Lett. A. 1988.
V. 132. N 5. P. 237-240.

Московский государственный
технический университет
им. Н.Э. Баумана

Поступило в Редакцию
29 ноября 1989 г.

Письма в ЖТФ, том 16, вып. 5

12 марта 1990 г.

01; 09

© 1990

К ВОПРОСУ ОБ ОПРЕДЕЛЕНИИ ФОРМЫ ТЕЛА ПО ДИАГРАММЕ РАССЕЯНИЯ

Б.З. Каценеленбаум, М.Ю. Шалухин

1. Электромагнитное поле, рассеянное металлическим телом, создается токами, протекающими по его поверхности. Для некоторых поверхностей рассеянные поля обладают свойством, которое не зависит от этих токов и определяется только формой поверхности. Если рассеянное поле не обладает этим свойством, то рассеивающее тело не может иметь эту форму. Это соображение позволяет в некоторых случаях по рассеянному полю, даже не зная поля, облучающего тело, сделать некоторые вероятностные выводы о форме рассеивающего тела.

Для простоты записи мы будем ниже рассматривать только диаграммы, хотя в ближней зоне поле в большей степени, чем в дальней, определяется именно свойствами поверхности. Кроме того, мы ограничимся двумерной скалярной задачей и четными относительно $\varphi = C$ полями.

2. Используемое ниже свойство диаграммы, не зависящее от тока, основано на том, что если \mathcal{L} есть контур, на котором обращается в ноль некоторая функция